

senkrecht zur Oberfläche zerstört wird, weil dabei die Widerstandsfähigkeit am geringsten ist. Es ergeben sich so Bruchquerschnitte, an denen nur das Maß  $\alpha$  verschieden groß ist, was die Ermittlung der Schwerpunktlagen und der Trägheitsmomente erleichtert. Dabei wurde das bogenförmige Stück in Rechtecke und Dreiecke zerlegt. Die Querschnitte werden zusammengesetzt beansprucht:

1. auf Biegung mit  $\sigma_b$  durch das Moment  $B_w \cdot c$ ,
2. auf Zug mit  $\sigma_z$  durch  $B_w \cdot \sin \alpha$ ,
3. auf Schub mit  $\tau_s$  durch  $B_w \cdot \cos \alpha$ .

Die Summe der unter 1 und 2 genannten Spannungen führt zu der größten Inanspruchnahme auf Zug an der Innenkante  $k_1$  der Kehle. Sie ist maßgebend für die Beurteilung der Festigkeitsverhältnisse dieser Stelle des Rahmens. Da die Berechnung keine Schwierigkeiten bietet, seien nur die Ergebnisse zusammengestellt:

Querschnitt	Neigung des Querschnitts $\alpha$	Lichte Höhe $x$ mm	Schwerpunktlage $y$ mm	Querschnitt $f$ cm <sup>2</sup>	Trägheitsmoment $J$ cm <sup>4</sup>	Biegespannung $\sigma_b$ kg/cm <sup>2</sup>	Zugspannung $\sigma_z$ kg/cm <sup>2</sup>	Beanspruchung der Kehle $k_1$ $\sigma = \sigma_b + \sigma_z$ kg/cm <sup>2</sup>	Schubspannung $\tau_s$ kg/cm <sup>2</sup>
a	16° 20'	180	147,5	294,5	25850	138	28	166	118
b	27°	215	164	315,5	35850	129	35	164	102
c	37°	275	193	351,5	57300	123	41	164	82

Sehr verwickelt ist die Inanspruchnahme der Ansatzstelle des Bajonetts III, Abb. 1699, an der Kreuzkopfführung. Zur Vereinfachung werde der gefährliche Querschnitt senkrecht zur Achse der Maschine und näherungsweise in der symmetrischen Uförmigen Gestalt, Abb. 1701, angenommen. Tatsächlich würde ein Bruch wohl in der Kehle ansetzen, wegen der nicht einfachen Form der Ansatzstelle aber ziemlich unregelmäßig verlaufen. Immerhin gibt die gemachte Annahme einen ersten Anhalt für die in der Kehle zu erwartenden Spannungen. Betrachtet man das linke Ende des Rahmens in Abb. 1699, so wirken auf den Querschnitt III die folgenden Kräfte:

1.  $B_w$  auf Zug und am Hebelarm  $y_1 = 16,1$  cm in der senkrechten Ebene auf Biegung,

2. die Anteile der freien Kraft  $B_w - P_0$ , die auf die Schrauben 1 und 2 entfallen, auf Druck und am Hebelarm  $y_2 = 39,8$  cm auf Biegung,

3. die von den Anker 1 und 2 aufgenommenen Teilkräfte  $R_1$  und  $R_2$  des Reibungsmomentes, das  $P_0 \cdot b$  das Gleichgewicht hält. Zur Vereinfachung der Rechnung sei ihre Richtung parallel zur Ebene des Querschnittes III angenommen. Sie wirken dann an den Hebelarmen  $z_1$  und  $z_2$  auf Biegung, an  $y_2$  auf Drehung und schließlich noch auf Schub.

Die größte Zugspannung tritt im Punkte a, Abb. 1701, in der Rahmenkehle auf. Dort betragen die einzelnen Spannungen bei einem Querschnitt  $f_{III} = 475$  cm<sup>2</sup>, einem Trägheitsmoment  $J_1 = 303400$  cm<sup>4</sup> um die wagrechte und  $J_2 = 95140$  cm<sup>4</sup> um die senkrechte Schwerlinie des Querschnittes:

$$1a) \text{ Zugspannung durch } B_w: \quad \sigma_z = \frac{B_w}{f_{III}} = \frac{24160}{475} = + 51 \text{ kg/cm}^2,$$

$$1b) \text{ Biegespannung durch } B_w: \quad \sigma_{b1} = \frac{B_w \cdot y_1 \cdot e_1}{J_1} = \frac{24160 \cdot 15,2 \cdot 35,2}{303400} = + 42,6 \text{ kg/cm}^2,$$

$$2a) \text{ Druckspannung durch } \frac{B_w - P_0}{2}: \quad \sigma_d = \frac{B_w - P_0}{2 \cdot f_{III}} = \frac{3360}{2 \cdot 475} = - 3,5 \text{ kg/cm}^2,$$

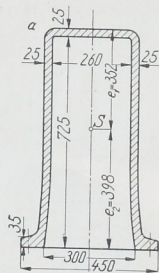


Abb. 1701. Querschnitt III des Rahmens Abb. 1699. M. 1: 20.